

## تأثیر پوشش گیاهی دشت سیلابی بر آبشنستگی تکیه‌گاه پل در مقطع مرکب

یوسف رمضانی<sup>۱\*</sup> - مهدی قمشی<sup>۲</sup> - حبیب موسوی جهرمی<sup>۳</sup> - حسین خزیمه نژاد<sup>۴</sup>

تاریخ دریافت: ۱۳۹۲/۷/۳

تاریخ پذیرش: ۱۳۹۲/۱۱/۳۰

### چکیده

شکست پل ناشی از آبشنستگی در تکیه‌گاه اهمیت مطالعه در مورد پیش‌بینی آبشنستگی و راههای کاهش آن را روشن می‌سازد. اکثر تکیه‌گاه‌پل‌ها در دشت سیلابی قرار گرفته‌اند. بکی از موارد متداول در دشت سیلابی وجود پوشش گیاهی می‌باشد. هدف این تحقیق بررسی تأثیر پوشش گیاهی دشت سیلابی بر آبشنستگی تکیه‌گاه پل با دیواره عمودی در مقطع مرکب می‌باشد. نتایج نشان می‌دهد، در یک طول تکیه‌گاه و عمق آب ثابت، با افزایش تراکم پوشش گیاهی، عمق آبشنستگی کاهش یافته که این کاهش عمق، دارای یک نرخ افزایشی است. در تراکم و طول تکیه‌گاه ثابت، با افزایش عمق آب در دشت سیلابی، به تدریج از میزان اثر پوشش گیاهی در کاهش عمق آبشنستگی کاسته شد. در طول تکیه‌گاه ۲۶ سانتی متر و تراکم  $S=8$ ، در عمق  $4/8$  سانتی متری دشت سیلابی  $40$  درصد کاهش در عمق آبشنستگی مشاهده شد که با افزایش عمق آب به  $11/8$  سانتی متر این میزان به  $22$  درصد کاهش یافت. همچنین پوشش گیاهی تأثیر بسزایی در کاهش ابعاد حفره آبشنستگی و تغییرات توپوگرافی پایین دست دارد.

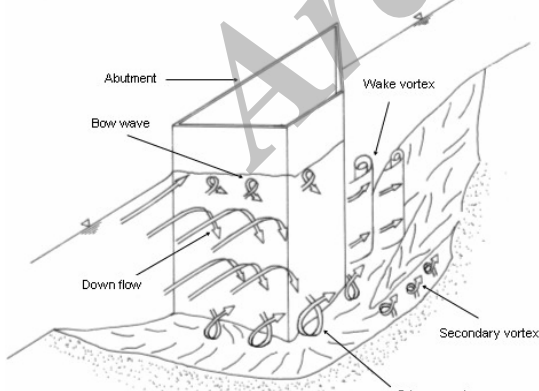
**واژه‌های کلیدی:** تکیه‌گاه پل، حفره آبشنستگی، آب زلال، پوشش گیاهی، سرعت سنج الکترومغناطیس

### مقدمه

در زمینه مکانیسم آبشنستگی در تکیه‌گاه پل‌ها توسط کوان (۱۱) و (۱۲)، احمد و راجارتانام (۱)، باربیویا و دی (۲)، دی و باربیویا (۳، ۴، ۶ و ۷) و سیاری دیگر نشان داده است که جریان پایین رونده و گرداب نعل اسبی در گوشه بالا دست تکیه‌گاه پل، همراه با گرداب ثانویه و گرداب برخاستگی در قسمت میانی و گوشه انتهایی تکیه‌گاه پل باعث ایجاد فعل و انفعال پیچیده‌ای بین سیال و مواد بستر می‌شود که دلیل اصلی آبشنستگی در تکیه‌گاه پل‌ها است.

شکست پل ناشی از آبشنستگی کلی در فونداسیون (شامل پایه<sup>۵</sup> و تکیه‌گاه<sup>۶</sup>) ضرورت مطالعه در مورد پیش‌بینی میزان حداقل عمق آبشنستگی و راههای محافظت در برابر آن را کاملاً روشن می‌سازد. داده‌ها نشان می‌دهند که مشکل آبشنستگی در تکیه‌گاه پل‌ها بسیار مهم است. طبق مطالعات ملویل (۱۳)، از  $108$  شکست پل که در فاصله سال‌های  $1980-1984$  در نیوزیلند رخ داد، مورد آن مربوط به آبشنستگی تکیه‌گاه پل بود. ملویل همچنین خاطر نشان می‌سازد که  $70$  درصد هزینه‌ها طی شکست پل در نیوزیلند ناشی از آبشنستگی تکیه‌گاه پل بوده است.

در شکل ۱ میدان جریان پیرامون یک تکیه‌گاه پل نشان داده شده است. عوامل موثر در آبشنستگی در اطراف تکیه‌گاه پل را می‌توان به جریان پایین رونده، گرداب موج کمانی، گرداب نعل اسبی (گرداب اصلی)، گرداب ثانویه و گرداب برخاستگی تقسیم بندی نمود. تحقیقات



شکل ۱- میدان جریان پیرامون یک تکیه‌گاه پل (کوان (۱۰))

ملویل (۱۳) داده‌های آبشنستگی تکیه‌گاه پل‌ها توسط ژیل (۹)،

۱ و ۴- استادیاران گروه مهندسی آب، دانشگاه بیرجند

(\*)- نویسنده مسئول: (Email:y.ramezani@birjand.ac.ir)

۲ و ۳- استاد و دانشیار گروه سازه‌های آبی، دانشگاه شهید چمران اهواز

5- Pier

6- Abutment

$$\frac{d_s}{y_{f0}} = f\left(\frac{U_{ab}}{U_c} - 1, \frac{y_{ab}}{y_{f0}}\right) \quad (5)$$

که در آن  $U_{ab}$  ماتریس سرعت در گوشه بالادست دماغه تکیه‌گاه،  $y_{ab}$  عمق جریان در سیالابدشت در محل وقوع سرعت  $U_{ab}$  در مقطع تنگ شده و  $U_c$  سرعت بحرانی است. در رابطه دوم، عمق آبشنستگی وابسته به مقادیر موضعی متغیرهای هیدرولیکی در نزدیکی دماغه تکیه‌گاه است. هر دو رابطه با گرداوری داده‌های آزمایشگاهی آبراهه‌های مرکب با سه هندسه مختلف و سه اندازه مختلف رسوب مورد بررسی و آزمایش قرار گرفته‌اند.

با بررسی مطالعات فوق مشخص می‌شود که اگرچه تاکنون روابط متعددی برای تخمین عمق آبشنستگی در تکیه‌گاه پل در دشت‌های سیالابی ارائه شده است، اما در این روابط اثر وجود پوشش گیاهی لحاظ نشده است. همچنین، اکثر تکیه‌گاه پل‌ها در دشت سیالابی قرار گرفته‌اند و قرار گرفتن تکیه‌گاه در مجرای اصلی کمتر رایج است (۸). با توجه به اینکه معمولاً دشت‌های سیالابی محل رشد گیاهان مختلف می‌باشد، در این تحقیق تأثیر پوشش گیاهی دشت سیالابی بر آبشنستگی پیرامون تکیه‌گاه پل با دیواره عمودی در مقطع مرکب مورد بررسی قرار گرفته است.

در آزمایش‌ها به منظور شبیه‌سازی پوشش گیاهی در دشت سیالابی از موانع استوانه‌ای استفاده گردید. محققین بسیاری به منظور شبیه‌سازی پوشش گیاهی از موانع استوانه‌ای استفاده کردند. استون و شن (۱۴) به بررسی آزمایشگاهی هیدرولیک جریان در یک کانال روباز با موانع استوانه‌ای پرداختند. مطالعه آزمایشگاهی شامل تعداد زیادی آزمایش با موانع استوانه‌ای مستغرق و غیرمستغرق در ابعاد و تراکم‌های مختلف بود. نتایج نشان داد مقاومت جریان با عمق جریان، تراکم، ارتفاع و قطر پایه‌ها تغییر می‌یابد. یانگ و همکاران (۱۸) به بررسی الگوی جریان در مقطع مرکب با دشت‌های سیالابی که دارای پوشش گیاهی می‌باشد پرداختند. آن‌ها سه پوشش گیاهی علف، بوته و درخت را مورد آزمایش قرار دادند. در مورد پوشش گیاهی درخت در دشت سیالابی، از موانع استوانه‌ای استفاده گردید.

## مواد و روش‌ها

آزمایش‌های این تحقیق در فلومی به طول ۹ متر، عرض ۱ متر انجام شد. دیواره‌های فلوم از جنس پلکسی گلاس است. عرض دشت سیالابی ۷۰ سانتی‌متر و عرض آبراهه اصلی ۳۰ سانتی‌متر و اختلاف ارتفاع کف آبراهه اصلی و کف دشت سیالابی ۱۵ سانتی‌متر در نظر گرفته شد (شکل‌های ۲ و ۳). تکیه‌گاه در یک طاقچه رسوبی به طول ۲ متر و عمق ۳۰ سانتی‌متر در دشت سیالابی قرار گرفت. کف

وانگ (۱۷)، تی (۱۶)، کوان (۱۱ و ۱۲) و کانداسمی (۱۰) را مورد بررسی قرار داد. او  $y$  را در برابر  $y/L$  و  $d_s/L$  را در برابر  $y/L$  ترسیم نمود. معادلات ذیل به ترتیب برای تکیه‌گاه‌های کوتاه، متوسط و بلند اطلاق می‌شود. معیار طبقه‌بندی مولیل بر اساس نسبت طول تکیه‌گاه به عمق جریان ( $L/y$ ) می‌باشد:

$$d_s = 2K_s L \quad L/y < 1 \quad (1)$$

$$d_s = 2K_s^* K_\theta^* \sqrt{Ly} \quad 1 \leq L/y \leq 25 \quad (2)$$

$$d_s = 10K_\theta y \quad L/y > 25 \quad (3)$$

طبق معادلات بالا، عمق آبشنستگی در یک تکیه‌گاه کوتاه وابسته به طول تکیه‌گاه و مستقل از عمق جریان است، در حالی که عمق آبشنستگی در یک تکیه‌گاه بلند وابسته به عمق جریان و مستقل از طول تکیه‌گاه است. عمق آبشنستگی در یک تکیه‌گاه متوسط نیز وابسته به طول تکیه‌گاه و عمق جریان است. بیشتر شرایط واقعی آبشنستگی تکیه‌گاه پل‌ها در محدوده طول متوسط تکیه‌گاه قرار می‌گیرند.  $K_s$  فاکتور شکل تکیه‌گاه،  $K_\theta$  فاکتور جهت تکیه‌گاه،  $K_s^*$  فاکتور شکل تعديل شده و  $K_\theta^*$  فاکتور جهت تعديل شده می‌باشند. برای تکیه‌گاه‌های بلند اثر شکل تکیه‌گاه ناچیز بوده، درحالی که برای تکیه‌گاه‌های کوتاه اثر جهت تکیه‌گاه ناچیز می‌باشد. برای تکیه‌گاه‌های متوسط فاکتور شکل تعديل شده  $K_s^*$  و فاکتور جهت تعديل شده  $K_\theta^*$  استفاده می‌شود.

استارم (۱۵) دو رابطه مختلف برای پیش‌بینی آبشنستگی پیرامون تکیه‌گاه پل‌ها در دشت سیالاب آبراهه مرکب تحت شرایط آب زلال ارائه کرد. اولین رابطه او به شکل زیر است:

$$\frac{d_s}{y_{f0}} = C_r \left( \frac{q_{f1}}{M q_{f0c}} - C_0 \right) \quad (4)$$

که در آن  $d_s$  عمق آبشنستگی در تکیه‌گاه،  $y_{f0}$  عمق جریان بدون سازه تکیه‌گاه در سیالاب دشت،  $q_{f1}$  دبی در واحد عرض در شروع آبشنستگی در دشت سیالابی،  $q_{f0c}$  دبی در واحد عرض بحرانی در دشت سیالابی برای شرایط نامداخل جریان در دشت سیالابی،  $M$  نسبت دبی انقباض که به صورت نسبت دبی در مقطع جریان نزدیک شونده با عرضی معادل عرض بازشده‌گی به دبی کل جریان نزدیک شونده تعریف می‌شود،  $C_r$  و  $C_0$  ثابت‌هایی هستند که با انجام آزمایش تعیین می‌شوند. در این رابطه، عمق آبشنستگی وابسته به متغیرهای هیدرولیکی در مقطع جریان نزدیک شونده به تکیه‌گاه می‌باشد. دو مین رابطه او به فرم زیر است:

- 1- Abutment shape factor
- 2- Abutment orientation factor

ثانیه بdest آمد.

بیشتر شرایط واقعی آبشنستگی تکیه گاه پل‌ها در محدوده طول متوسط تکیه گاه قرار می‌گیرند. در این تحقیق از تکیه گاه‌هایی با دیواره عمودی و در محدوده طول متوسط طبقه‌بندی ملویل (۱۳) استفاده شد. با توجه به حداکثر عمق جریان روی دشت سیلابی و عرض آبراهه و عرض دشت سیلابی، تکیه گاه‌هایی با سه طول ۱۲، ۱۹ و ۲۶ سانتی‌متر در آزمایش‌ها مورد استفاده قرار گرفت. عرض تکیه گاه (در جهت جریان) نیز ۱۲ سانتی‌متر انتخاب گردید.

رسوب یکنواخت با قطر متوسط  $0.4/0$  میلی متر در آزمایش‌ها استفاده شد. معیار یکنواختی رسوب بر اساس مقدار انحراف معیار هندسی،  $s_g$ ، می‌باشد. برای توزیع لوگ نرمال رسوبات،  $s_g$  به صورت زیر به دست آمد:

$$\sigma_g = \sqrt{\frac{d_{84.1}}{d_{15.9}}} = \frac{d_{84.1}}{d_{50}} \quad (6)$$

رسوبات در صورتی یکنواخت در نظر گرفته خواهند شد که  $s_g < 1/4$  باشد (۵). در این تحقیق  $s_g = 1/27$  بdest آمد که نشان‌دهنده یکنواختی رسوبات می‌باشد. منحنی دانه‌بندی رسوب مورد استفاده در آزمایش‌ها در شکل ۵ نشان داده شده است.

از موانع استوانه‌ای به صورت آرایش زیگزاگی و قطر ثابت در ۴ تراکم و در حالت غیرمستغرق استفاده شد. قطر موانع استوانه‌ای، با توجه به عمق کم جریان در دشت سیلابی، ۱ سانتی‌متر انتخاب شد. با توجه به شکل ۴، چهار تراکم با  $S=16$  (۴۲ مانع استوانه‌ای در هر متر مربع)،  $S=12$  (۸۰ مانع استوانه‌ای در هر متر مربع)،  $S=8$  (۱۵۶ مانع استوانه‌ای در هر متر مربع) و بدون پوشش گیاهی در نظر گرفته شد. واحد  $S$  بر حسب سانتی‌مترباشد.

انتخاب فواصل بین موانع استوانه‌ای به گونه‌ای بود که در هر گام افزایش پوشش گیاهی، تراکم موانع استوانه‌ای تقریباً ۲ برابر شود.

در ابتدای آزمایش‌ها، به منظور جلوگیری از آبشنستگی ناخواسته ناشی از عمق کم جریان، فلوم بوسیله یک لوله با نرخ کم پر شد و سپس دبی و عمق مورد نظر تنظیم گردید.

مدت آزمایش‌ها تا زمانی بود که حفره آبشنستگی ایجاد شده تقریباً به حالت تعادل رسیده باشد. با توجه به مشاهدات و امکانات آزمایشگاهی موجود، این زمان ۱۲ ساعت در نظر گرفته شد. بعد از اتمام هر آزمایش، جریان آب فلوم به آرامی تخلیه شده و نقطه حداکثر آبشنستگی و همچنین توبوگرافی ایجاد شده در طاقچه رسوبی توسط متر لیزری با دقت  $\pm 1$  میلی‌متر برداشت شد. سرعت جریان نیز بوسیله سرعت سنج ۳ بعدی الکترومغناطیس اندازه گیری گردید.

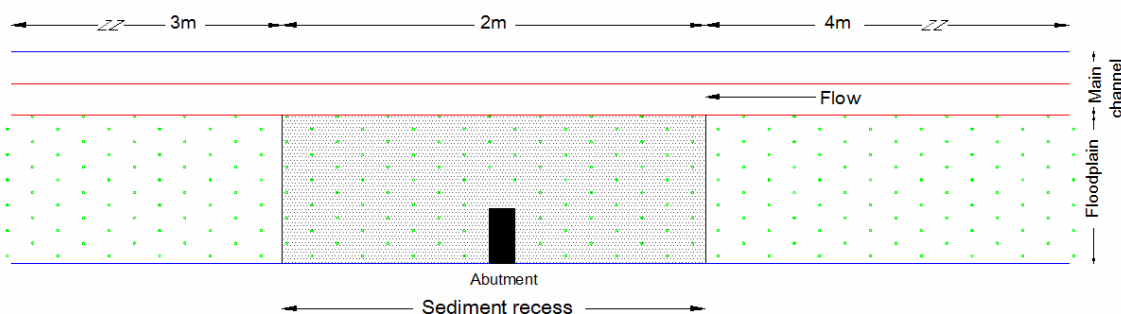
مقطع اصلی و دشت سیلابی و همچنین طاقچه رسوبی از جنس ورق گالوانیزه ساخته شد. دبی ورودی با استفاده از شیر ورودی تنظیم و بوسیله یک سرریز مشابه شکل کالیبره شده اندازه گیری شد. عمق جریان نیز با استفاده از دریچه انتهایی تنظیم گردید. چند آرام کننده جریان در ابتدای فلوم به منظور کاهش تلاطم‌های ناخواسته آب نصب شد.

فاصله ابتدای طاقچه رسوبی تا ابتدای فلوم ۴ متر در نظر گرفته شد. همچنین، فاصله انتهایی طاقچه رسوبی تا انتهای فلوم نیز ۳ متر در نظر گرفته شد. این فاصله باعث می‌شود تا نیمرخ سطح آب روی طاقچه رسوبی یکنواخت بوده و تحت تأثیر دریچه نباشد. آزمایش‌ها در شرایط آب زلال<sup>۱</sup> و با تنظیم دبی و عمق جریان در حد آستانه حرکت رسوبات ( $U_c = 0.95/U$ ) انجام شد. آبشنستگی آب زلال زمانی صورت می‌پذیرد که انتقال رسوب از طرف جریان نزدیک‌شونده به حفره آبشنستگی وجود نداشته باشد ( $U_c > U$ ). از طرف دیگر، آبشنستگی بستر زنده<sup>۲</sup> زمانی صورت می‌پذیرد که حفره آبشنستگی دائماً بوسیله رسوب توسط جریان نزدیک‌شونده تغذیه شود ( $U_c < U$ ). لازم به ذکر است در آبشنستگی آب زلال بدليل عدم انتقال رسوب از بالادست، حداکثر میزان عمق آبشنستگی اتفاق می‌افتد.

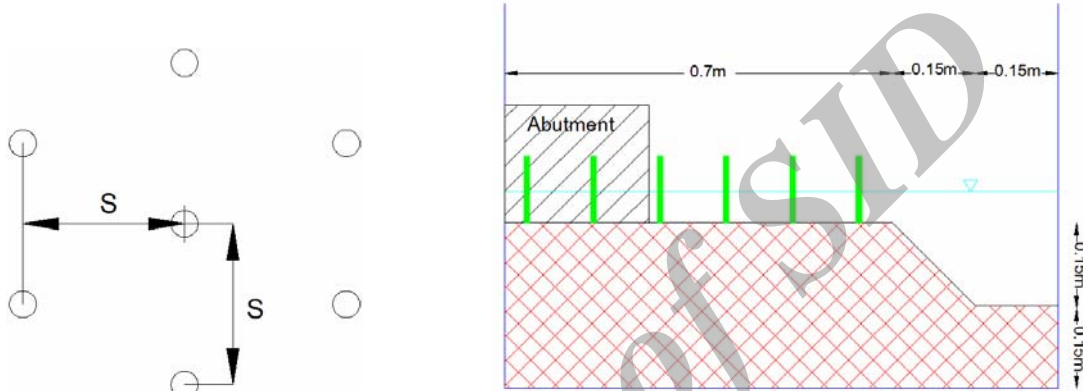
با توجه به مرکب بودن مقطع فلوم، غیریکنواختی سرعت جریان نزدیک‌شونده، سرعت آستانه حرکت و عمق مورد نظر با انجام آزمایش‌های آستانه حرکت در آزمایشگاه بdest آمده است. هدف بdest اوردن عمق و سرعت آستانه حرکت در یک دبی معین بود. بدین منظور ابتدا رسوبات طاقچه رسوبی (بدون حضور تکیه گاه) کاملاً مسطح شده و دریچه انتهایی کاملاً بالا کشیده شد. سپس، فلوم به آرامی بوسیله جریان آب پر شده و دبی مورد نظر تنظیم گردید. پس از تنظیم دبی، دریچه انتهایی به آرامی پایین کشیده شد. روند پایین کشیدن دریچه انتهایی تا جایی ادامه پیدا کرد که حرکت عمومی رسوبات در طاقچه رسوبی مشاهده شود. برای مثال، در دبی ۲۰ لیتر بر ثانیه، عمق آستانه حرکت رسوبات در عمق آب  $4/5$  سانتی‌متر در دشت سیلابی مشاهده شد. هدف این تحقیق انجام آزمایش‌ها در شرایط آب زلال و تنظیم دبی و عمق جریان در حد آستانه حرکت رسوبات ( $U_c = 0.95/U$ ) بود. بنابراین، نزدیک‌ترین عمق ممکن به عمق آستانه حرکت (بطوری که هیچ‌گونه حرکت رسوب در طاقچه رسوبی وجود نداشته باشد) به عنوان عمق مورد نظر انتخاب گردید. در دبی ۲۰ لیتر بر ثانیه، عمق حد آستانه حرکت رسوبات در عمق  $4/8$  سانتی‌متر در دشت سیلابی مشاهده شد. برای سایر دبی‌ها نیز روند مشابهی انجام گرفت. بدین ترتیب پنج عمق  $8/4$ ،  $6/4$ ،  $8/3$  و  $10/8$  سانتی‌متر در دشت سیلابی برای دبی‌های ۲۰ الی ۴۰ لیتر بر

1- Clear water

2- Live bed

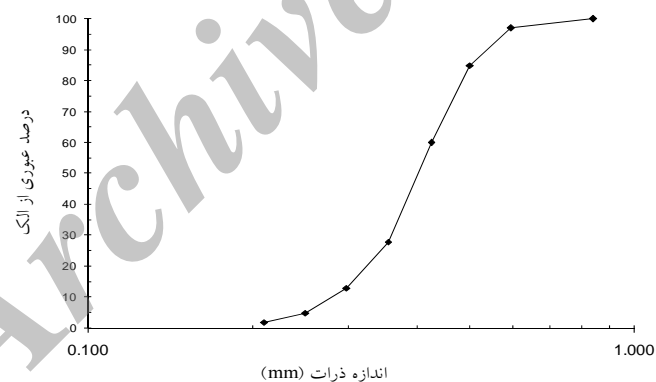


شکل ۲- طرح فلوم آزمایشگاهی مورد مطالعه



شکل ۴- آرایش و فواصل مواد اس琢انهای

شکل ۳- مقطع عرضی فلوم آزمایشگاهی مورد مطالعه



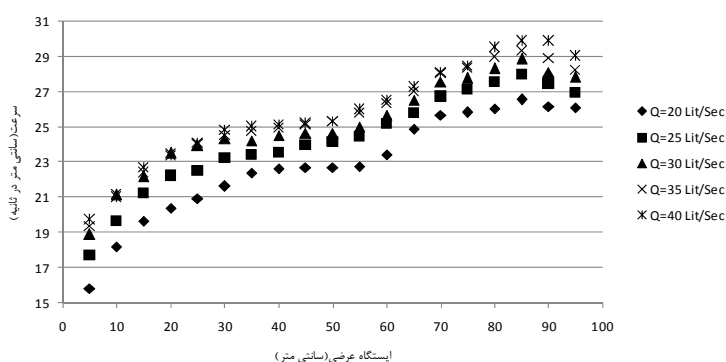
شکل ۵- منحنی دانه‌بندی رسوب مورد استفاده در آزمایش‌ها

است.

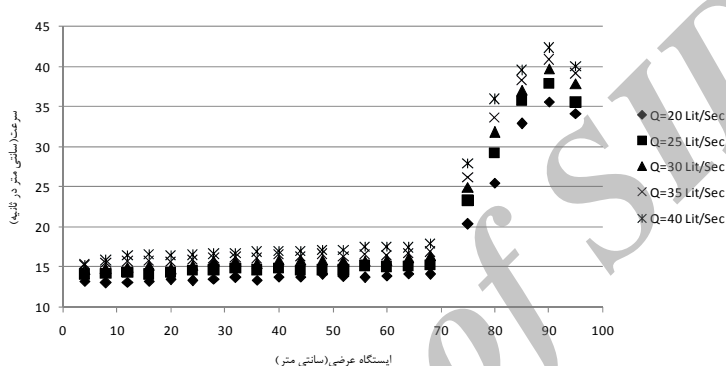
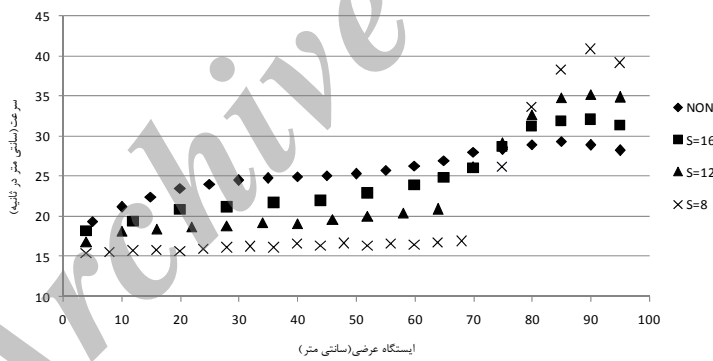
اثر پوشش گیاهی بر سرعت جریان نزدیک شونده در اشکال ۶ و ۷ سرعت مقطع عرضی جریان در حالت بدون پوشش گیاهی و حالت  $S=8$  در دبی های مختلف و در شکل ۸ نیز سرعت مقطع عرضی جریان در پوشش های مختلف در دبی ۳۵ لیتر در ثانیه نشان داده شده است.

## نتایج و بحث

تجزیه و تحلیل نتایج در دو بخش اثر پوشش گیاهی بر آبستنگی در تراکم‌های مختلف و اثر پوشش گیاهی روی توپوگرافی تشکیل شده پیرامون تکیه‌گاه پل در طاقچه رسوبی بیان می‌شود. در این بخش  $L_a$  طول تکیه‌گاه،  $B_f$  عرض دشت سیلانی،  $d_s$  ماکریمم عمق آبستنگی  $y_f$  عمق آب در دشت سیلانی تعریف شده



شکل ۶- سرعت مقطع عرضی جریان در حالت بدون پوشش گیاهی در دبی های مختلف

شکل ۷- سرعت مقطع عرضی جریان در حالت  $S=8$  در دبی های مختلف

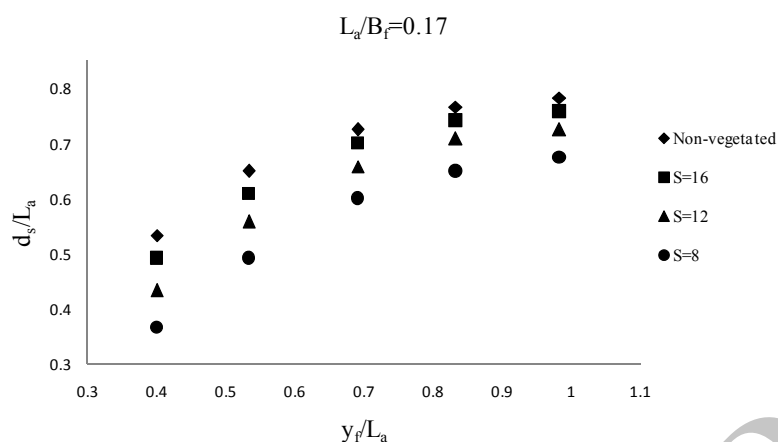
شکل ۸- سرعت مقطع عرضی جریان در پوشش های مختلف در دبی ۳۵ لیتر در ثانیه

گرفته است، مقادیر سرعت در دشت سیلابی از یکنواختی بیشتری برخوردار می باشند.

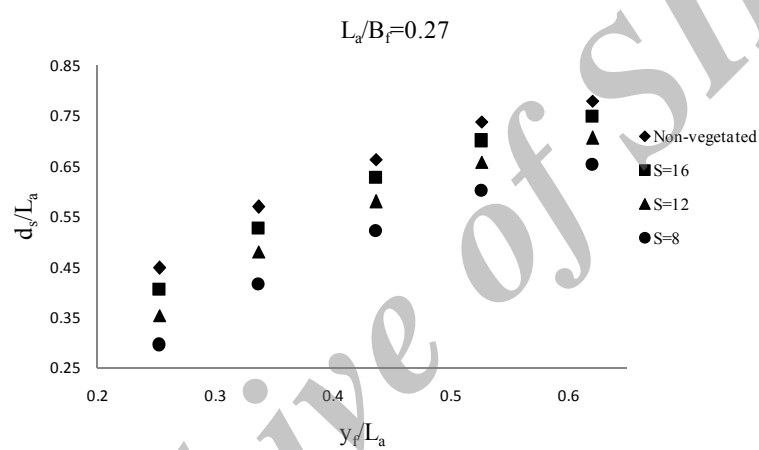
#### اثر پوشش گیاهی بر حداقل عمق آبشنستگی

برای بیان اثر پوشش گیاهی بر آبشنستگی در تراکم‌های مختلف، از نسبت بدون بعد  $y/L_a$  در برابر  $d_s/L_a$  استفاده شده است. اشکال ۹ تا ۱۱، حاصل ترسیم این نسبت‌های بدون بعد در برابر یکدیگر و در تراکم‌های مختلف پوشش گیاهی می باشد که در ۳ طول تکیه‌گاه پل ۱۹، ۱۲ و ۲۶ سانتی متر بطور جداگانه نشان داده شده‌اند.

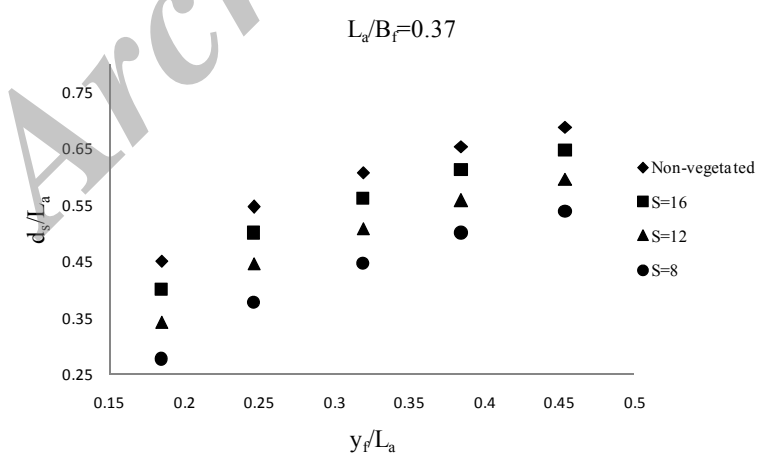
با توجه به اشکال ۶ تا ۸، پوشش گیاهی موجب کاهش سرعت در دشت سیلابی و افزایش سرعت در آبراهه اصلی گردیده است. با افزایش تراکم پوشش گیاهی، مقادیر سرعت دشت سیلابی کاهش یافته که این کاهش سرعت، دارای یک نرخ افزایشی است. همچنین، با افزایش تراکم پوشش گیاهی، مقادیر سرعت آبراهه اصلی افزایش یافته که این افزایش سرعت، دارای یک نرخ افزایشی است. با افزایش میزان دبی در یک تراکم پوشش گیاهی ثابت، مقادیر سرعت در کل آبراهه افزایش یافته که این افزایش سرعت، دارای یک نرخ کاهشی است. در حالت هایی که پوشش گیاهی مورد استفاده قرار



شکل ۹- اثر پوشش گیاهی بر آبستینگی در  $L_a = 12\text{ cm}$  و تراکم‌های مختلف



شکل ۱۰- اثر پوشش گیاهی بر آبستینگی در  $L_a = 19\text{ cm}$  و تراکم‌های مختلف



شکل ۱۱- اثر پوشش گیاهی بر آبستینگی در  $L_a = 26\text{ cm}$  و تراکم‌های مختلف

آبشنستگی کاسته می‌شود. به عبارت دیگر، در کمترین عمق آب در دشت سیلابی، پوشش گیاهی دارای بیشترین اثر در کاهش عمق آبشنستگی می‌باشد. برای مثال در  $L_a = 12 \text{ cm}$  (شکل ۹)، در آبشنستگی  $d_s/L_a$  از  $0/53$ ،  $y_f = 4/8 \text{ cm}$ ، میزان کاهش  $S = 12$  در حالت بدون پوشش به  $0/49$  در حالت  $d_s/L_a = 0/53$ ،  $y_f = 0/0$  در حالت  $S = 16$  و  $0/36$  در حالت  $S = 8$  کاهش پیدا کرده است. این در حالی است که در  $d_s/L_a = 0/78$  در حالت  $S = 12$  و  $0/68$  در حالت  $S = 8$  کاهش می‌باشد.

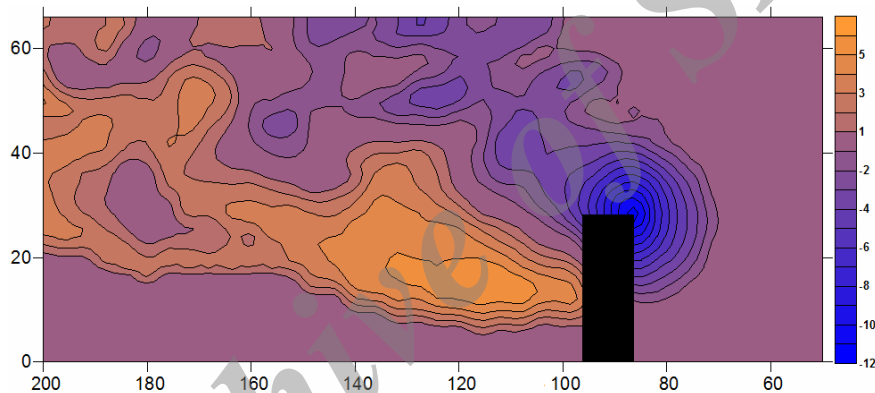
#### اثر پوشش گیاهی بر توپوگرافی

در اینجا توپوگرافی پیرامون تکیه‌گاه پل با طول ۲۶ سانتی متر و با عمق آب روی دشت سیلابی  $4/8$  سانتی متر، در ۴ تراکم مختلف پوشش گیاهی مورد مقایسه قرار گرفته است.

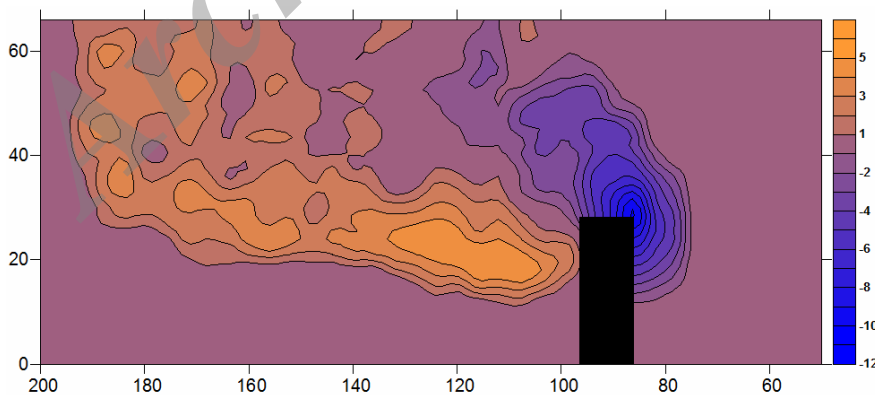
در حالتی که پوشش گیاهی مورد استفاده قرار نگرفت، در یک طول تکیه‌گاه ثابت با افزایش عمق آب در دشت سیلابی، عمق آبشنستگی افزایش یافت که این افزایش عمق، دارای یک نرخ کاهشی می‌باشد. برای مثال در  $L_a = 12 \text{ cm}$  (شکل ۹)، با افزایش عمق آب میزان افزایش  $d_s/L_a$  به ترتیب  $0/53$ ،  $0/72$ ،  $0/65$ ،  $0/76$  و  $0/78$  می‌باشد.

در یک طول تکیه‌گاه و عمق آب ثابت، با افزایش تراکم پوشش گیاهی، عمق آبشنستگی کاهش یافته است که این کاهش عمق، دارای یک نرخ افزایشی است. برای مثال در  $L_a = 19 \text{ cm}$  و  $y_f = 6/4 \text{ cm}$  (شکل ۱۰)، میزان کاهش  $d_s/L_a$  از  $0/57$  در حالت بدون پوشش به  $0/53$  در حالت  $S = 16$ ،  $0/48$  در حالت  $S = 12$  و  $0/41$  در حالت  $S = 8$  کاهش پیدا کرده است.

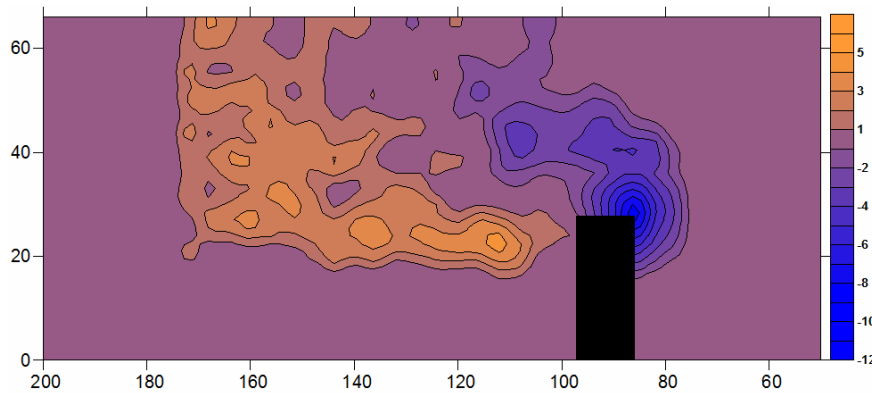
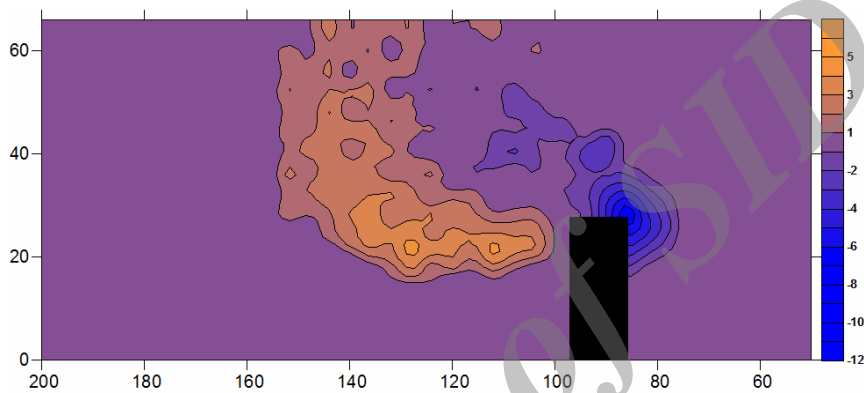
در تراکم و طول تکیه‌گاه ثابت، با افزایش عمق آب در دشت سیلابی، به تدریج از میزان اثر پوشش گیاهی در کاهش عمق



شکل ۱۲- توپوگرافی تشکیل شده در حالت بدون پوشش (جهت جریان از راست به چپ)



شکل ۱۳- اثر پوشش گیاهی بر توپوگرافی در حالت  $S=16$

شکل ۱۴- اثر پوشش گیاهی بر توپوگرافی در حالت  $S=12$ شکل ۱۵- اثر پوشش گیاهی بر توپوگرافی بستر در حالت  $S=8$ 

در حالت بدون پوشش گیاهی، تغییرات طولی توپوگرافی حتی از محدوده طاقچه رسوبی نیز بیشتر می‌باشد. با افزایش تراکم، تغییرات توپوگرافی درجهت طولی کمتر می‌شود که دلیل آن کاهش حجم حفره آبستتگی پیرامون تکیه‌گاه پل می‌باشد. تغییرات طولی توپوگرافی در حالت  $S=16$  تا فاصله ۱۹۲ سانتی متر، در حالت  $S=12$  تا فاصله ۱۷۲ سانتی متر و در حالت  $S=8$  تا فاصله ۱۵۲ سانتی متر از ابتدای طاقچه رسوبی پیش روی نموده است.

### نتیجه گیری

در این تحقیق، تأثیر پوشش گیاهی دشت سیلانی بر آبستتگی تکیه‌گاه پل با دیواره عمودی در مقطع مرکب در ۴ تراکم، ۳ طول تکیه‌گاه و شرایط هیدرولیکی آب زلال مورد بررسی قرار گرفت. به طور کلی نتایج نشان داد که طول تکیه‌گاه و عمق آب ثابت، با افزایش تراکم پوشش گیاهی، عمق آبستتگی کاهش یافته که این کاهش عمق، دارای یک نرخ افزایشی است. در تراکم و طول تکیه‌گاه ثابت، با افزایش عمق آب در دشت سیلانی، به تدریج از میزان اثر پوشش گیاهی در کاهش عمق آبستتگی کاسته شد. در طول تکیه‌گاه ۲۶ سانتی متر و تراکم  $S=8$ ، در کمترین عمق ۴۰ درصد کاهش در

همانطور که در شکل ۱۲ ملاحظه می‌شود در حالتی که پوشش گیاهی مورد استفاده قرار نگرفت، بیشترین عمق آبستتگی در دماغه بالادست تکیه‌گاه و تشکیل حفره آبستتگی پیرامون دماغه مشاهده گردید. همچنین، توسعه آبستتگی تحت یک زاویه مایل حدوداً ۴۵ درجه به دماغه بالادست تکیه‌گاه مشاهده گردید. رسوبات پس از جاروب شدن از نواحی ذکر شده، در پشت تکیه‌گاه تجمع پیدا نمودند.

با افزایش تراکم پوشش گیاهی، میزان توسعه حفره آبستتگی پیرامون تکیه‌گاه کاهش پیدا کرده است. ماکریم عمق آبستتگی نیز از ۱۱/۷ سانتی متر در حالت بدون پوشش به  $10\frac{1}{4}$  سانتی متر در حالت  $S=16$  و  $9\frac{1}{4}$  سانتی متر در حالت  $S=12$  و  $7\frac{1}{2}$  سانتی متر در حالت  $S=8$  کاهش پیدا کرده است. همچنین با افزایش تراکم پوشش گیاهی، از میزان رسوبگذاری در پشت تکیه‌گاه کاسته شده است. دلیل این امر آن است که با افزایش تراکم، قدرت گرداب نعل اسبی کم شده و میزان رسوبات کمتری از اطراف تکیه‌گاه شسته شده و در نتیجه از میزان رسوبگذاری در این ناحیه کم می‌شود.

در تمامی حالات ماکریم عمق آبستتگی در دماغه بالادست تکیه‌گاه مشاهده گردید و پوشش گیاهی تأثیری در جایگایی نقطه ماکریم عمق آبستتگی از دماغه بالادست تکیه‌گاه نداشته است.

تکیه‌گاه و تغییرات توپوگرافی پایین دست نیز به طور قابل ملاحظه‌ای کاهش پیدا کرده است.

عمق آبشنستگی مشاهده شد که با افزایش عمق آب این میزان به ۲۲ درصد کاهش یافت. با افزایش تراکم پوشش گیاهی، علاوه بر کاهش عمق ماکریم آبشنستگی، میزان توسعه حفره آبشنستگی پیرامون

## منابع

- 1- Ahmed F. and Rajaratnam N. 2000. Observations on flow around an abutment. *Journal of Engineering Mechanics*, 125(1): 51-59.
- 2- Barbhuiya A.K. and Dey S. 2003. Vortex flow field in a scour hole around abutments. *International Journal of Sediment Research*, 18(4): 310-325.
- 3- Dey S. and Barbhuiya A.K. 2005a. Flow field at a vertical-wall abutment. *Journal of Hydraulic Engineering*, 131(12): 1126-1135.
- 4- Dey S. and Barbhuiya A.K. 2005b. Turbulent flow field in a scour hole at a semicircular abutment. *Canadian Journal of Civil Engineering*, 32(1): 213-232.
- 5- Dey S. and Barbhuiya A.K. 2005c. Time variation of scour at abutments. *Journal of Hydraulic Engineering*, 131(1): 11-23.
- 6- Dey S. and Barbhuiya A.K. 2006a. 3D flow field in a scour hole at a wing-wall abutment. *Journal of Hydraulic Research*, 44(1): 33-50.
- 7- Dey S. and Barbhuiya A.K. 2006b. Velocity and turbulence in a scour hole at a vertical-wall abutment. *Journal of Flow Measurement and Instrumentation*, 17(1): 13-21.
- 8- FHWA Report. 2004. Enhanced abutment scour studies for compound channels. Publication No. FHWA-RD-99-156.
- 9- Gill M.A. 1972. Erosion of sand beds around spur dikes. *Journal of the Hydraulics Division*, 98: 1587-1602.
- 10- Kandasamy J.K. 1989. Abutment scour. Report No. 458. School of Engineering, University of Auckland, New Zealand.
- 11- Kwan F. 1984. Study of abutment scour. Report No. 328, School of Engineering, University of Auckland, New Zealand.
- 12- Kwan F. 1988. Study of abutment scour. Report No. 451, School of Engineering, University of Auckland, New Zealand.
- 13- Melville B.W. 1992. Local scour at bridge abutments. *Journal of Hydraulic Engineering*, 118(4): 615-631.
- 14- Stone B.M. and Shen H.T. 2002. Hydraulic resistance of flow in channels with cylindrical roughness. *Journal of Hydraulic Engineering*, 128(5): 500-506.
- 15- Sturm T.W. 1999. Abutment scour in compound channels. *Stream Stability and Scour at Highway Bridges*, ASCE, Reston, VA, 398. 443-456.
- 16- Tey C.B. 1984. Local scour at bridge abutments. Report No. 329. School of Engineering, University of Auckland, New Zealand.
- 17- Wong W.H. 1982. Scour at bridge abutments. Report No. 275. School of Engineering, University of Auckland, New Zealand.
- 18- Yang K.J., Cao S.Y. and Knight D.W. 2007. Flow patterns in compound channels with vegetated floodplains. *Journal of Hydraulic Engineering*, 133(2): 148-159.



## Effect of Vegetated Floodplain on Abutment Scour in Compound Channels

Y. Ramezani<sup>1\*</sup> - M. Ghomeshi<sup>2</sup>- H. Musavi Jahromi<sup>3</sup>- H. Khozeyme Nejad<sup>4</sup>

Received:25-09-2013

Accepted:19-02-2014

### Abstract

Bridge failures due to scour at bridge abutments clarify importance of scour prediction and scour countermeasures. Most of bridge abutments are located in floodplains. One of common cases in floodplains is the existence of vegetation cover. Scope of this study is investigation on effect of vegetated floodplain on vertical wall abutment scour in compound channels. Results show, for constant abutment length and flow depth, with increasing the vegetation concentration, scour depth decreased with an increasing rate. For constant vegetation concentration and abutment length, with increasing the flow depth, effect of vegetation in reduction of scour depth decreased. In abutment with the length of 26 cm and concentration with  $s=8$ , with increasing the flow depth from 4.8 to 11.8 cm, percentage reduction in scour depth decreased from 40 to 22 percent. Also, vegetation reduces scour hole dimensions and has effect on downstream topography.

**Keywords:** Bridge Abutment, Scour Hole, Clear Water, Vegetation, Electromagnetic velocimeter

Archive of SID

1,4- Assistant Professors, Department of Water Engineering, University of Birjand, Birjand, Iran

(\*-Corresponding Author Email: [y.ramezani@birjand.ac.ir](mailto:y.ramezani@birjand.ac.ir))

2,3- Professor and Associate Professor, Department of Hydraulic Structures, Shahid Chamran University of Ahvaz, Ahvaz, Iran